

## Низкочастотный барьерный разряд в таунсендовском режиме

© Д.С. Никандров, Л.Д. Цендин

Санкт-Петербургский государственный политехнический университет,  
195251 Санкт-Петербург, Россия

(Поступило в Редакцию 10 февраля 2005 г.)

Предложена аналитическая модель барьерного газового разряда (Dielectric-Barrier Discharges — DBD) в таунсендовском режиме, когда объемный заряд мал по сравнению с поверхностным на диэлектрике. Режим горения разряда существенно различен в зависимости от соотношения между частотой внешнего напряжения и временем движения иона в зазоре. Рассмотрен низкочастотный случай, что позволило пренебречь объемным зарядом. Полученные аналитические выражения согласуются с результатами численного моделирования и экспериментами. Выяснен физический механизм наблюдающихся в этом режиме релаксационных колебаний. Представлены качественные закономерности поведения DBD-разряда и его основные параметры подобия.

### Введение

Барьерный разряд — это разряд в газовой среде, заполняющей промежуток между электродами, один или оба из которых покрыты диэлектриком (рис. 1). Впервые эти разряды нашли широкое применение при производстве озона [1,2]. Сейчас их используют при стерилизации медицинского оборудования [3], при создании плазменных панелей [4], а также в эксимерных лампах [5]. При приложении к электродам переменного напряжения в газе возникает электрическое поле, определяемое приложенным к электродам напряжением и зарядами на поверхности диэлектрика. Разряд возникает, если это поле превышает поле пробоя. В многочисленных экспериментах параметры разрядов менялись в широких пределах: давление составляло от единиц до сотен Торр [6,7], частота приложенного напряжения — от единиц до сотен kHz [7,8]. Расстояние между электродами обычно порядка нескольких миллиметров.

Существуют три принципиально различных режима горения DBD разряда: таунсендовский, однородный тлеющий и филаментированный. Наиболее прост таунсендовский режим, при котором поля в разряде не искажаются объемным зарядом и не образуются плазмы. Тлеющий режим горения, наблюдаемый часто при высоких частотах внешнего напряжения, характеризу-

ется сильным искажением поля из-за воздействия на него объемного заряда. Большую часть разряда занимает плазма. Филаментированный разряд представляет собой совокупность тонких проводящих плазменных каналов — филаментов, хаотично прорастающих между электродами.

Несмотря на успехи в численном моделировании (см., например, [5,9]), существует необходимость в получении качественной аналитической картины таких разрядов. В работе представлены основные законы подобия, позволяющие предсказывать зависимость тока и электрического поля в таунсендовском разряде от времени. Получены простые аналитические выражения, описывающие колебания тока и поля в разряде, и выяснен их физический механизм.

Рассмотрен случай, когда частота приложенного напряжения  $\omega$  много меньше обратного времени  $\tau$  движения иона между электродами. Если движение ионов определяется их подвижностью, то

$$\tau = \frac{L}{E_{br} b_i} \ll \frac{2\pi}{\omega}. \quad (1)$$

Здесь  $E_{br}$  — электрическое поле, соответствующее пробую;  $b_i$  — подвижность ионов. В разделе 1 выписаны исходные уравнения задачи. Когда заряженные частицы в зазоре отсутствуют (пассивная фаза II), поверхностный заряд постоянен и поле в зазоре меняется так же, как  $U(t)$ . Активная фаза I сопровождается колебаниями тока, поля в зазоре и поверхностного заряда. Получена связь между напряжением  $U(t)$ , полем в зазоре и плотностью поверхностного заряда, усредненными по колебаниям. В разделе 2 получено уравнение для тока проводимости; колебательный режим I исследован в разделе 3. В разделах 4 и 5 исследован колебательный режим, возникающий при плавной зависимости  $U(t)$ , и показано, что, если  $U(t)$  меняется резко (имеет форму меандра), колебания отсутствуют. В разделе 6 расчет сопоставлен с имеющимися натурными и численными экспериментами. Искажение поля в зазоре объемным зарядом рассмотрено в Приложении.

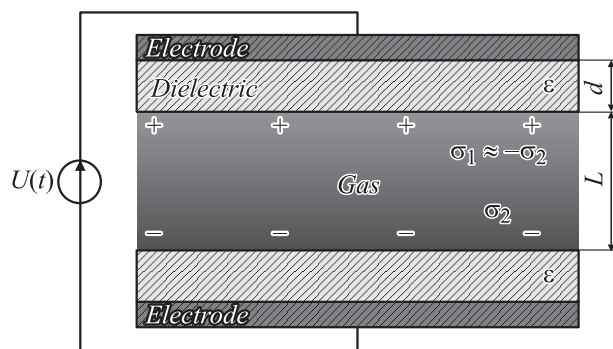


Рис. 1. Схема разрядной ячейки.

## 1. Исходные уравнения, простые оценки

В диэлектрике весь ток переносится током смещения, а в газовом зазоре — как током смещения, так и током проводимости. Заряды, которые образуются в зазоре, быстро (за время, не превышающее  $\tau$ ) выносятся на поверхность диэлектрика и накапливаются на ней в течение большого времени порядка  $\omega^{-1}$ . Поэтому при выполнении неравенства (1) пространственный заряд в зазоре мал по сравнению с поверхностным, так что плотности зарядов на электродах различаются только знаками

$$\sigma_1(t) \approx -\sigma_2(t). \quad (2)$$

При этом поле в зазоре определяется приложенным напряжением и поверхностными зарядами. Так как поле поверхностных зарядов может частично компенсировать приложенное напряжение, то при большом перенапряжении поле в зазоре может представлять собой разность двух больших членов. Условие, при котором искажением поля в зазоре пространственным зарядом можно пренебречь по сравнению с полем пробоя, приведено в Приложении.

Для решения задачи необходимо связать поле в зазоре, напряжение  $U(t)$  и заряд на поверхности диэлектрика  $\sigma(t) = |\sigma_1(t)|$ . Для этого используем теорему Гаусса

$$E = U \frac{1}{L + \frac{2d}{\varepsilon}} + \sigma \frac{8\pi}{L + \frac{2d}{\varepsilon}} \frac{d}{\varepsilon}. \quad (3)$$

Как только поле в зазоре превысит  $E_{br}$ , оно вызовет сильно растущий ток. Зависимость тока от поля определяется тем, что первый ионизационный коэффициент Таунсенда  $\alpha$  экспоненциально растет с полем. Отношение  $M$  потока электронов на аноде к потоку их на катоде в свою очередь экспоненциально зависит от  $\alpha$ . Ток через зазор увеличивается в  $M-1$  раз за время порядка  $\tau$ . Поэтому ток растет со временем примерно по экспоненциальному закону с показателем  $\int \frac{M-1}{\tau} dt$ . Столь быстро увеличивающийся ток, согласно принципу Ле Шателье, будет удерживать поле на уровне, близком к  $E_{br}$ . Поэтому для построения грубой модели положим, что в таунсендовском разряде электрическое поле не может быть больше пробойного  $|E(t)| \leq E_{br}$ . Весь период внешнего напряжения можно разделить на две фазы. В течение активной фазы I разряда  $t^* < t < \pi/2\omega$  в зазоре текут токи проводимости, меняющие поверхностный заряд и поддерживающие  $E \approx E_{br}$ . Согласно (3) поверхностный заряд меняется так же, как  $-U(t)$ . Во время фазы II

$$\frac{\pi}{2\omega} < t < \frac{\pi}{\omega} + t^*$$

поле в зазоре меньше  $E_{br}$ . В самом начале этой фазы все заряженные частицы выносятся полем на поверхность диэлектрика. После этого ток проводимости не течет и поверхностный заряд постоянен. Согласно (3),

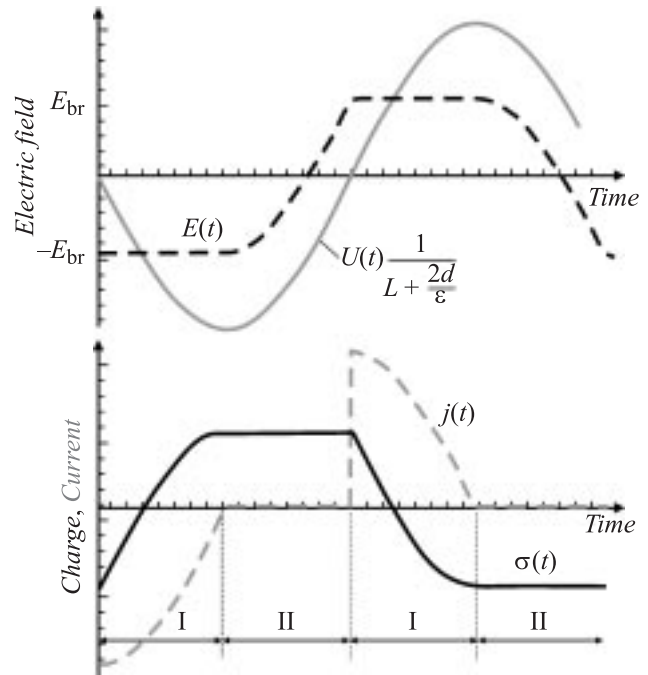


Рис. 2. Эволюция поля в зазоре, поверхностного заряда и тока. Фаза I соответствует протеканию тока, поддерживающего  $E \approx E_{br}$ , фаза II соответствует отсутствию тока проводимости.

изменение приложенного напряжения приводит только к изменению поля в зазоре. Момент начала активной фазы I определяется однозначно

$$t^* = U^{-1} \left( 2E_{br} \left( L + \frac{2d}{\varepsilon} \right) - U \Big|_{t=\frac{\pi}{2\omega}} \right). \quad (4)$$

Поле в зазоре при смене фаз меняется непрерывно

$$E(t) = \begin{cases} \frac{U(t) + U|_{t=\frac{\pi}{2\omega}}}{L + \frac{2d}{\varepsilon}} - E_{br}, & -\frac{\pi}{2\omega} < t < t^*, \\ E_{br}, & t^* < t < \frac{\pi}{2\omega}. \end{cases} \quad (5)$$

Изменение поля, поверхностного заряда и тока для случая синусоидального напряжения схематично показано на рис. 2.

В случае малого перенапряжения, когда

$$U_{\max} < 2L \left( 1 + \frac{2d}{L\varepsilon} \right) E_{br}, \quad (6)$$

пробой происходит после того, как  $U(t)$  меняет знак. Напротив, в случае большого перенапряжения, когда

$$U_{\max} > 2L \left( 1 + \frac{2d}{L\varepsilon} \right) E_{br},$$

пробой происходит до того момента, когда  $U(t)$  меняет знак. Как видно, продолжительность фаз I и II связана с величиной внешнего напряжения. Общая картина зависимости поля от времени приведена на рис. 3.

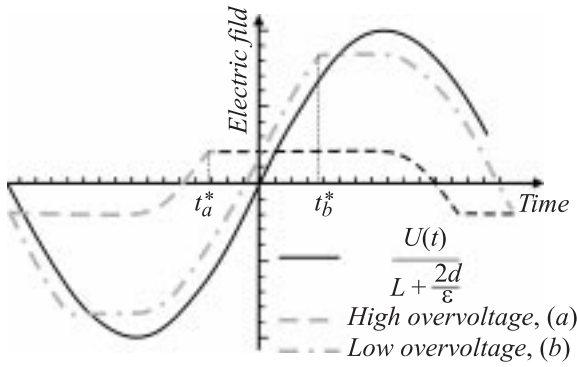


Рис. 3. Зависимость электрического поля от уровня перенапряжения.

Из (3) следует выражение для тока проводимости в зазоре, необходимого для ограничения поля,

$$j = \frac{d\sigma}{dt} = \begin{cases} \frac{dU}{dt} \frac{\epsilon}{8\pi d}, & t \in I, \\ 0, & t \in II. \end{cases} \quad (7)$$

В реальности ток в течение фазы II крайне мал. Он не может возрасти мгновенно до конечной величины, требуемой (7). Поэтому имеет место запаздывание тока относительно приложенного напряжения, которое не учтено в грубой модели. В тот момент, когда поле достигает значения  $E_{br}$ , ток еще крайне мал, поверхностный заряд практически не меняется. Так как напряжение  $U(t)$  изменяется, а поверхностный заряд остается постоянным, то поле в зазоре продолжает возрастать (3), превышая  $E_{br}$ . Этот процесс продолжается до тех пор, пока ток не возрастет настолько, что поверхностный заряд начнет существенно меняться и напряженность поля станет убывать. Пока  $E(t)$  остается больше  $E_{br}$ , ток будет продолжать расти. Уменьшаться ток станет только тогда, когда поле будет меньше, чем  $E_{br}$ . Такая картина соответствует возникновению релаксационных колебаний. Для их количественного описания необходимо определить функциональную связь между электрическим полем и током. Ниже мы выпишем замкнутое уравнение, описывающее колебательную фазу I разряда.

## 2. Эволюция тока

Ограничимся простой таунсендовской моделью, когда электроны в зазоре размножаются в основном за счет ударной ионизации нейтральных атомов. Эти процессы определяются только электрическим полем. Вторичные электроны с катода эмиттируются вследствие бомбардировки его ионами. Длительность цикла размножения электронов в таунсендовском разряде определяется характерным временем движения иона от места его рождения до поверхности катода —  $\tau$  (катод и анод определены по отношению к полю в зазоре). Рассмотрим вначале случай локальной ионизации. В этом случае ток

изменится согласно уравнению [10]

$$j(t) = j_{ext}(t) + \int_0^L j\left(t - \frac{x}{u}\right) \gamma \alpha \left(t - \frac{x}{u}\right) \exp\left[x\alpha\left(t - \frac{x}{u}\right)\right] dx. \quad (8)$$

Здесь  $j(t)$  — ток проводимости у катода;  $j_{ext}(t)$  — электронный ток с катода, не связанный с ион-электронной эмиссией, — ток внешнего ионизатора;  $u$  — дрейфовая скорость иона. Заметим, что, зная решение уравнения (8), в котором  $j_{ext}(t) \propto \delta(t - t')$ , можно написать его решение и при произвольной зависимости  $j_{ext}(t)$

$$j(t) = \frac{u}{L} \int_{-\infty}^t j_{ext}(t') i(t, t') dt',$$

$$i(t, t') = \frac{L}{u} \delta(t - t')$$

$$+ \int_0^L i\left(t - \frac{x}{u}\right) \gamma \alpha \left(t - \frac{x}{u}\right) \exp\left[x\alpha\left(t - \frac{x}{u}\right)\right] dx. \quad (9)$$

Таким образом,  $i = i(t, t')$  представляет собой аналог функции Грина для нашей задачи. Так как мы описываем изменение поля в течение фазы I, то  $\gamma(e^{\alpha(t)L} - 1) \approx 1$ . При постоянном перенапряжении ток будет расти экспоненциально  $i = i_0 \exp(\beta(t - t'))$ . Действительно, такая зависимость является решением (9). Возникающее трансцендентное уравнение для  $\beta$

$$\left[1 + \gamma - \frac{\beta}{u\alpha}\right] \frac{1}{\gamma e^{\alpha L}} = \exp\left(-\frac{\beta L}{u}\right) \quad (10)$$

всегда имеет решение. В случае  $\gamma \ll 1$ , например,

$$\beta = \frac{u \ln(\gamma(e^{\alpha(t)L} - 1))}{L}.$$

Если  $\beta$  меняется слабо за время  $\tau$ , то в этом случае можно использовать подход, аналогичный ВКБ приближению, т.е. считать

$$i = i_0 \exp\left(\int_{t'}^t \beta\right), \quad (11)$$

где  $\beta$  уже явно зависит от времени

$$\left[1 + \gamma - \frac{\beta}{u\alpha(t)}\right] \frac{1}{\gamma e^{\alpha(t)L}} = \exp\left(-\frac{\beta L}{u}\right). \quad (12)$$

Из (9), (11) следует, что ток при локальной ионизации изменяется по закону

$$j(t) = \int_{-\infty}^t \frac{j_{ext}(t')}{\tau} \exp\left(\int_{t'}^t \frac{\ln[\gamma(e^{\alpha(t'')L} - 1)]}{\tau} dt''\right) dt'. \quad (13)$$

Полученные результаты можно обобщить на случай нелокальной ионизации. Так, уравнение (8) переписывается в виде

$$j(t) = j_{\text{ext}}(t) + \int_0^L j \left( t - \frac{x}{u} \right) \frac{\partial M}{\partial x} \Big|_{t-\frac{x}{u}} dx, \quad (14)$$

где  $M(x, E)$  — коэффициент мультипликации электронов.

Величина этого коэффициента равна количеству вторичных электронов, рожденных одним первичным при прохождении расстояния  $x$  от катода. В локальном случае

$$M(x, E) = \gamma(e^{\alpha(E)x} - 1). \quad (15)$$

Таким образом, единственной характеристикой ионизационного процесса является величина  $M(x, E)$ . Традиционно используемый коэффициент мультипликации есть  $M(E(t)) = M(L, E(t))$ . Решение (14) можно переписать в виде

$$j(t) = \int_{-\infty}^t \frac{j_{\text{ext}}(t')}{\tau} \exp \left( \int_{t'}^t \frac{\ln M(E(t''))}{\tau} dt'' \right) dt'. \quad (16)$$

Выражение (16) имеет прозрачный физический смысл. Ток к моменту  $t$  определяется токами внешнего ионизатора и полем в предыдущие моменты времени. Токи ионизатора усиливаются как  $M^{t'/\tau}$  и складываются. Видно, что ток не меняет мгновенно свое значение, как предполагалось в простейшей модели (рис. 2).

Нижний предел интегрирования (16) соответствует фазе II, когда  $M \ll 1$ . Ток проводимости в момент пробоя определяется соотношением

$$\begin{aligned} j(t^*) &= \int_{-\infty}^{t^*} \frac{j_{\text{ext}}(t')}{\tau} \exp \left( \int_{t'}^{t^*} \frac{\ln M(t'')}{\tau} dt'' \right) dt' \\ &\approx j_{\text{ext}}(t^*) \sqrt{\frac{\pi}{2\tau \frac{d[M(E(t))]}{dt} \Big|_{t=t^*}}}. \end{aligned} \quad (17)$$

Для удобства везде ниже будем считать  $t^* = 0$  (рис. 3).

### 3. Колебательный режим разряда

Выражение (16) представляет собой решение дифференциального уравнения

$$\tau \frac{dj}{dt} = j \ln M(E) + j_{\text{ext}}. \quad (18)$$

Дифференцированием (3) можно получить дополнительное уравнение для поля в зазоре

$$\frac{dE}{dt} = \frac{dU}{dt} \frac{1}{L + \frac{2d}{\varepsilon}} - j \frac{8\pi}{L + \frac{2d}{\varepsilon}} \frac{d}{\varepsilon}. \quad (19)$$

Комбинируя уравнения (18) и (19), получаем замкнутое дифференциальное уравнение для электрического поля в фазе I

$$\begin{aligned} \frac{d^2E}{dt^2} &= \frac{d^2U}{dt^2} \frac{1}{L(1 + \frac{2d}{\varepsilon L})} \\ &+ \frac{\ln M(E)}{\tau} \left( \frac{dE}{dt} - \frac{dU}{dt} \frac{1}{L(1 + \frac{2d}{\varepsilon L})} \right) - \frac{8d\pi}{\varepsilon L + 2d} \frac{j_{\text{ext}}(t)}{\tau}. \end{aligned} \quad (20)$$

Для анализа этого уравнения удобно ввести безразмерные переменные: время в единицах  $\theta = t/\tau$ , электрическое поле  $E = E/E_{\text{br}}$ , внешнее напряжение

$$\Phi = \frac{U}{1 + \frac{2d}{\varepsilon L}} \frac{1}{E_{\text{br}}L},$$

ток ионизатора  $t = j_{\text{ext}}/j \Big|_{t=0}$  и безразмерный коэффициент

$$\kappa = \frac{8\pi d}{(\varepsilon L + 2d)} \frac{j \Big|_{t=0}}{E_{\text{br}}} \tau. \quad (21)$$

Ток в момент пробоя  $j \Big|_{t=0}$  пропорционален току ионизатора и определяется соотношением (17). В результате уравнение (20) запишется следующим образом

$$\begin{cases} \frac{d^2E}{d\theta^2} - \frac{d^2\Phi}{d\theta^2} - \ln(M(E)) \left( \frac{dE}{d\theta} - \frac{d\Phi}{d\theta} \right) = -\kappa, \\ E \Big|_{\theta=0} = 1, \quad \frac{dE}{d\theta} \Big|_{\theta=0} = \frac{d\Phi}{d\theta} \Big|_{\theta=0} - \kappa. \end{cases} \quad (22)$$

Для случая локальной ионизации  $M(E)$  задается (15). Ионизационный коэффициент  $\alpha$  связан с напряженностью электрического поля и давлением газа  $\alpha/p = f(E/p)$  и записывается обычно в виде

$$\alpha/p = A \exp \left( -\frac{B}{E/p} \right).$$

Стоит заметить, что полученные выражения имеют место и при любой другой зависимости коэффициента мультипликации от поля.

Уравнение (22) описывает релаксационные колебания электрического поля. Если частота таких колебаний оказывается много больше  $\omega$ , что имеет место, если неравенство (1) выполнено с запасом, то характеристики колебаний адиабатически отслеживают  $d\Phi/d\theta$ , впервые это было экспериментально установлено в [11]. Величина  $d^2\Phi/d\theta^2$  на решение не влияет, так как из условия (1) следует, что

$$\frac{d\Phi}{d\theta} \gg \frac{d^2\Phi}{d\theta^2}.$$

Исключением является случай, когда  $\Phi(\theta)$  меняется резко. Этот случай мы рассмотрим на примере, когда  $\Phi(\theta)$  имеет вид меандра.

#### 4. Случай плавного изменения внешнего напряжения

В случае плавно меняющегося внешнего напряжения уравнение (22) приводится к виду

$$\begin{cases} \frac{d^2 E}{d\theta^2} - \ln(M(E)) \left( \frac{dE}{d\theta} - \Phi' \right) = -\kappa, \\ E|_{\theta=0} = 1, \quad \frac{dE}{d\theta} \Big|_{\theta=0} = \Phi' - \kappa, \quad \Phi' = \frac{d\Phi}{d\theta} = \text{const.} \end{cases} \quad (23)$$

В уравнении (23) и в начальном условии на производную стоит малый параметр  $\kappa$ . Малость параметра  $\kappa$  следует из его пропорциональности току внешнего ионизатора. Пренебрежение этим параметром в уравнении эквивалентно отключению ионизатора в момент  $\theta = 0$ . Размножение электронов в нарастающем электрическом поле  $E(\theta) > 1$  идет всегда очень активно, и действие ионизатора на этом фоне, как будет показано ниже, приводит лишь к малым поправкам (которые тем меньше, чем меньше  $\kappa$ ). Пренебрегая ими, получим

$$\frac{d^2 E}{d\theta^2} - \ln(M(E)) \left( \frac{dE}{d\theta} - \Phi' \right) = 0. \quad (24)$$

Такое уравнение описывает движение частицы в системе с вынуждающей силой и знакопеременным трением. Трение и сила меняют знаки при  $E = 1$ . Однородное уравнение (24) имеет строго периодическое решение. Электрическое поле  $E(\theta)$  колеблется в пределах от  $E_{\max} = \max_{\theta}(E)$  до  $E_{\min} = \min_{\theta}(E)$ , причем

$$\int_1^{E_{\max}} \ln M dE = \kappa + \Phi' \left( \ln \frac{\Phi'}{\kappa} - 1 \right),$$

$$\int_{E_{\min}}^{E_{\max}} \ln M dE = 0. \quad (25)$$

Рассмотрим случай колебаний малой амплитуды. Тогда  $M(E) = 1 + M'(E - 1)$ . Как видно из (25), это эквивалентно условию

$$E_{\max} - 1 \approx 1 - E_{\min}. \quad (26)$$

Фазовый портрет решения для этого случая приведен на рис. 4.

$$\begin{cases} p + \ln|p - 1| = z^2 - X, \\ p = \frac{dE}{d\theta} \frac{1}{\Phi'}, \quad z = \left( \frac{M'}{2\Phi'} \right)^{1/2} (E - 1); \quad X = \ln \frac{\Phi'}{\kappa} - 1. \end{cases} \quad (27)$$

При больших значениях параметра  $X$  (начиная с  $X \approx 1$ ) фазовая траектория в области спадающего поля

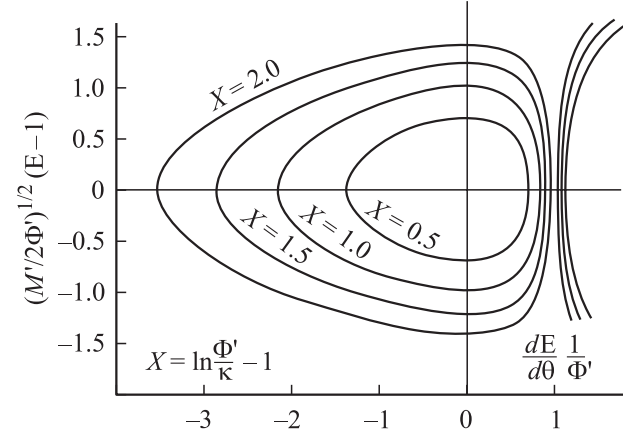


Рис. 4. Фазовые траектории электрического поля в разряде (случай малых амплитуд).

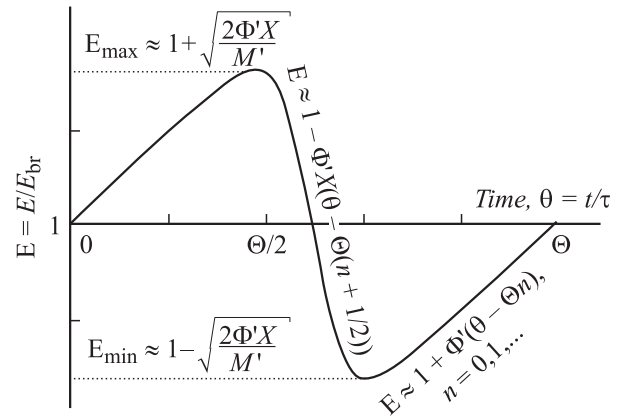


Рис. 5. Зависимость электрического поля (колебаний малой амплитуды) от времени ( $X = 4$ ).

аппроксимируется как  $p = z^2 - X$ . Это позволяет найти закон убывания поля и период колебаний  $\Theta$

$$E = 1 - \sqrt{\frac{2\Phi'X}{M'}} \tanh \left( \left( \theta - \frac{\Theta}{2} \right) \sqrt{\frac{M'\Phi'X}{2}} \right) \approx 1 - \Phi'X \left( \theta - \frac{\Theta}{2} \right), \quad (28)$$

$$\Theta \approx \frac{1+X}{\Phi'X} (E_{\max} - E_{\min}) \approx (1+X) \sqrt{\frac{8}{\Phi'XM'}}. \quad (29)$$

Строго периодическое решение (рис. 5) получается только в случае полного выключения внешнего ионизатора в момент  $\theta = 0$ . Учет воздействия ионизатора при постоянном  $\Phi'$ , приводит со временем к медленному уменьшению амплитуды колебаний. Поле при этом стремится к пределу  $E_{\text{lim}}$ , удовлетворяющему уравнению

$$M(E_{\text{lim}}) = \exp \left( -\frac{\kappa}{\Phi'} \right). \quad (30)$$

В случае  $E_{\text{lim}} \approx 1$  уравнение (30) имеет решение

$$E_{\text{lim}} = 1 - \frac{\kappa}{M'\Phi'}.$$

Характерное время уменьшения амплитуды колебаний электрического поля может быть легко оценено. Определяя  $E$  как решение (24), а  $E + \delta E$  как решение (23), разложим  $\delta E$  в ряд до первого не исчезающего слагаемого

$$\delta E \approx -\frac{\kappa}{2} \theta^2.$$

Это позволяет оценить поправку к полю за время его нарастания, т. е. до

$$\theta = \frac{(E_{\text{max}} - 1)}{\Phi'}.$$

Малая неоднородность уравнения (23) сказывается на решении только в фазе нарастания поля, когда разность  $(\frac{dE}{d\theta} - \Phi')$  мала. За один период колебаний амплитуда поля уменьшится на

$$\delta E \approx \frac{\kappa}{2} \left[ \frac{(E_{\text{max}} - 1)}{\Phi'} \right]^2.$$

Таким образом, приходим к оценке характерного времени затухания колебаний за счет внешнего ионизатора

$$\frac{\Phi'(1+X)}{\kappa X}. \quad (31)$$

Если время (31) оказывается много больше времени, в течение которого  $d\Phi/d\theta = \text{const}$ , то затухание поля не успевает произойти. Критерием применимости уравнения (24) вместо (23) может служить условие, получаемое из (31)

$$\frac{\Phi'(1+X)}{\kappa X} \gg \Theta. \quad (32)$$

Это условие выполняется при достаточно маленьком  $\kappa$ . Если же оно неверно, то никаких колебаний электрического поля практически нет  $E(\theta) = E_{\text{lim}}$  (рис. 3). Параметры (27), (29) и величина (31) определяют основные скейлинги задачи для случая медленно меняющегося внешнего напряжения.

## 5. Зависимость внешнего напряжения в форме меандра

В случае приложения ступенчатого напряжения, задача по расчету DBD-разряда существенно упрощается. Основное упрощение состоит в отсутствии фазы II (рис. 2), напряжение в зазоре всегда порядка пробойного. Уравнение (22) для электрического поля в зазоре имеет вид

$$\begin{cases} \frac{d^2 E}{d\theta^2} - \ln(M(E)) \frac{dE}{d\theta} = -\kappa, \\ E|_{\theta=0} = E_{\text{max}}, \quad \frac{dE}{d\theta}|_{\theta=0} = -\kappa. \end{cases} \quad (33)$$

Так же как и в случае плавно меняющегося напряжения, рассмотрим однородное уравнение, не пренебрегая малым параметром в начальном условии,

$$\frac{d^2 E}{d\theta^2} - \ln(M(E)) \frac{dE}{d\theta} = 0. \quad (34)$$

Решение (34) может быть записано в квадратурах

$$\theta(E) = \int_E^{E_{\text{max}}} \frac{dx}{\kappa + \int_x^{E_{\text{max}}} \ln(M)}. \quad (35)$$

Из (35) видно, что электрическое поле — монотонно убывающая функция, стремящаяся к  $E_{\text{min}}$ . Эта величина определяется условием

$$E_{\text{min}} : \int_{E_{\text{min}}}^{E_{\text{max}}} \ln M dE = -\kappa. \quad (36)$$

Для качественного исследования решения (35) выпишем зависимости поля и тока от времени в случае малых перенапряжений (это эквивалентно разложению коэффициента мультипликации в ряд  $M(E) = 1 + M'(E - 1)$ )

$$E = C_1 \text{th} \left( C_2 - \frac{C_1 M'}{2} \theta \right) + 1, \quad J = \frac{C_1^2 M'}{2\kappa \text{ch}^2 \left( C_2 - \frac{C_1 M'}{2} \theta \right)},$$

$$C_1 = \sqrt{(E_{\text{max}} - 1)^2 + \frac{2\kappa}{M'}} \approx E_{\text{max}} - 1,$$

$$C_2 = \text{arcsch} \left( \frac{E_{\text{max}} - 1}{\sqrt{\frac{2\kappa}{M'}}} \right). \quad (37)$$

Видно, что импульс тока запаздывает относительно  $\Phi(\theta)$ , достигая максимального значения в момент

$$\tilde{\theta} = \frac{2C_2}{C_1 M'} \approx \frac{2C_2}{(E_{\text{max}} - 1) M'}.$$

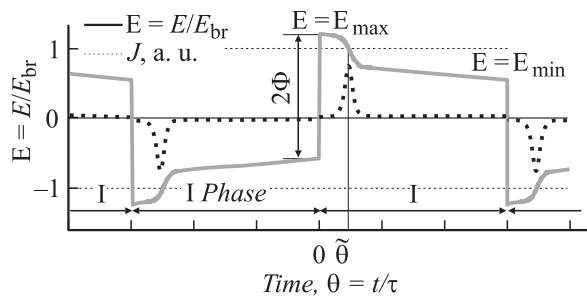
Максимальное значение тока пропорционально квадрату перенапряжения  $J(\tilde{\theta}) \sim (E_{\text{max}} - 1)^2$ . Также видно, что при малом перенапряжении  $E_{\text{max}} - 1 \approx 1 - E_{\text{min}}$ .

Если продолжительность фазы I (рис. 6) оказывается гораздо больше  $2\tilde{\theta}$ , т. е.  $\tilde{\theta} \ll \pi/2\omega\tau$ , то необходимо ввести поправки, связанные с воздействием внешнего ионизатора (учесть неоднородность уравнения (33)),

$$E(\theta) = E_{\text{min}} - \kappa \int_0^\theta e^{(\theta-\theta') \cdot \ln M(E_{\text{min}})} \left( \int_0^{\theta'} \iota(\theta'') d\theta'' \right) d\theta',$$

$$\theta \gg \tilde{\theta}. \quad (38)$$

Решения (37) были найдены ранее в [10]. Однако важным преимуществом настоящего подхода является возможность анализировать большие перенапряжения



**Рис. 6.** Схематическая зависимость поля и тока проводимости в зазоре.

и определять  $E_{\max}$ . Условие периодичности разряда и отсутствие выделенного электрода позволяет составить уравнение

$$E_{\max} = 2\Phi - E\left(\frac{\pi}{\omega\tau}\right) \approx 2\Phi - E_{\min}.$$

Учитывая (36), получаем уравнение для  $E_{\max}$  в виде

$$\int_{2\Phi - E_{\max}}^{E_{\max}} \ln(M)dE = -\kappa. \quad (39)$$

В формуле (39) может быть учтена также поправка (38).

## 6. Сравнение с экспериментом

Приведенная модель удивительно хорошо описывает имеющиеся экспериментальные данные и численные коды [6,8,11,12]. Наблюдавшиеся распределения параметров были аналогичны (5). Так, на рис. 7 приведена динамика изменения поля в разряде в потоке гелия при давлении 730 Torr [11]. Частота напряжения (пилообразного в случае (a) и синусоидального в случае (b)) составляла 1.5 kHz,  $L = 0.2$  cm,  $d = 0.23$  cm,  $\epsilon = 5$ . Отчетливо видно возникновение релаксационных колебаний. Так как амплитудное значение  $U(t)/(L + 2d/\epsilon)$  было близко к двум, то в соответствии с (4) и (6) фаза I начинается практически одновременно со сменой знака  $U(t)$ . В соответствии с простейшей моделью (5) колебания заканчивались в момент максимума напряжения. Отметим также, что в случае пилообразного напряжения колебания (кроме первого) были практически периодическими. Так как в течение пассивной фазы II поверхностный заряд неизменен, то в согласии с (5) кривые  $E(t)$  и  $U(t)/L + 2d/\epsilon$  оказываются параллельными. Параметр  $pL$  соответствовал правой ветви кривой Пашена. Сопоставление расчета согласно (22) с экспериментом было выполнено в рамках таунсендовской аппроксимации

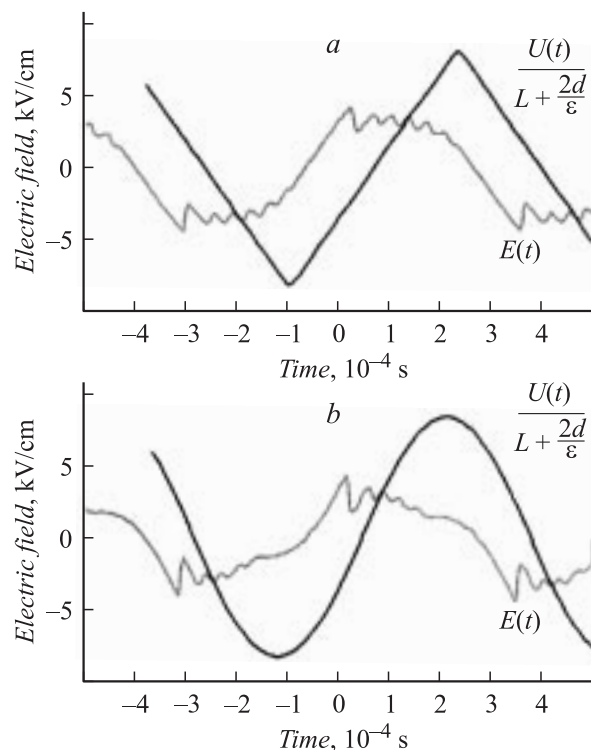
$$\alpha = Ap \exp\left(-\frac{B}{E/p}\right),$$

где  $A = 3$  (cm · Torr)<sup>-1</sup>,  $B = 25$  V/cm · Torr [13].

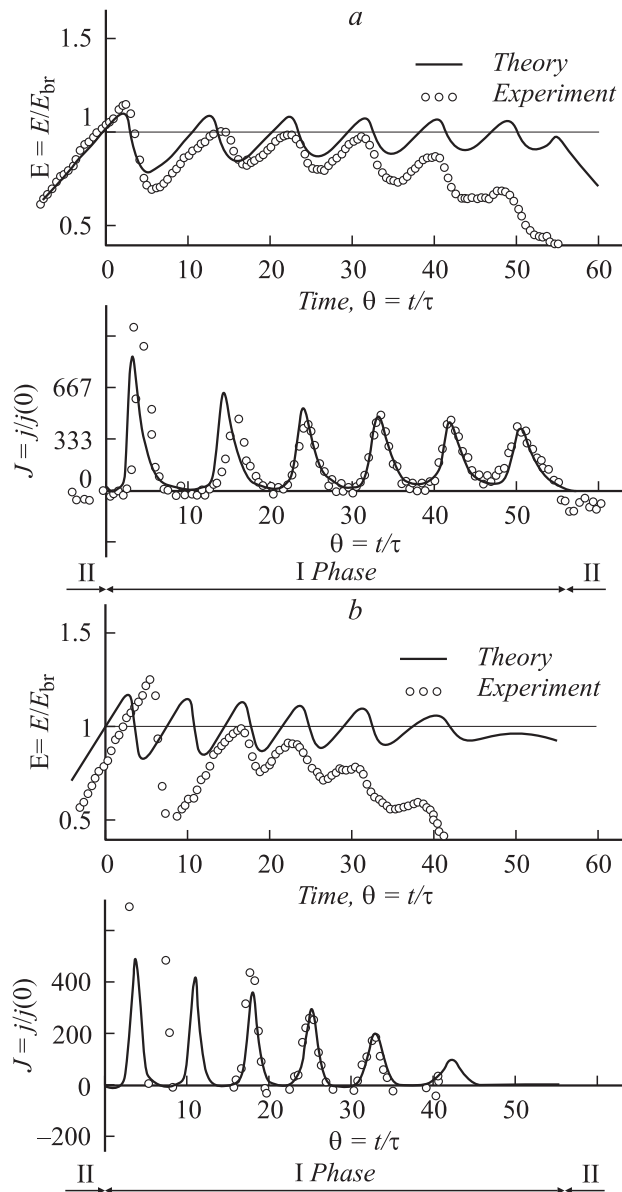
Такое сопоставление позволяет оценить ток внешнего ионизатора порядка  $10^{-4} - 10^{-5}$  mA/cm<sup>2</sup>. Результаты моделирования приведены на рис. 8. Единственным подгоночным параметром при расчете было значение  $j_{\text{ext}}$ . Для линейного изменения напряжения оно полагалось равным  $10^{-4}$  mA/cm<sup>2</sup>, а для синусоидального —  $3 \cdot 10^{-4}$  mA/cm<sup>2</sup>. Следует отметить, что результаты малочувствительны к значению этого параметра. Так, для описания первого колебания тока, отличающегося примерно в 2 раза от остальных, необходимо было бы полагать  $j_{\text{ext}} \approx 10^{-6}$  mA/cm<sup>2</sup>.

Как уже отмечалось, полученные соотношения зависят только от коэффициента мультипликации, так что они применимы как на правой ветви кривой Пашена, когда ионизацию можно считать локальной, так и на ее левой ветви, когда ионизация нелокальна и приближение (15), строго говоря, неприменимо [14]. Такая ситуация имела место, например, в работе [6], где исследовался разряд в метане при давлении 0.75 Torr,  $L = 0.5$  cm,  $d = 0.5$  cm,  $f = 1.4$  kHz. Разделение разряда на фазы в соответствии с простейшей моделью показано на рис. 9. Моменты пробоя (4) хорошо согласуются с экспериментом, особенно при отрицательных токах.

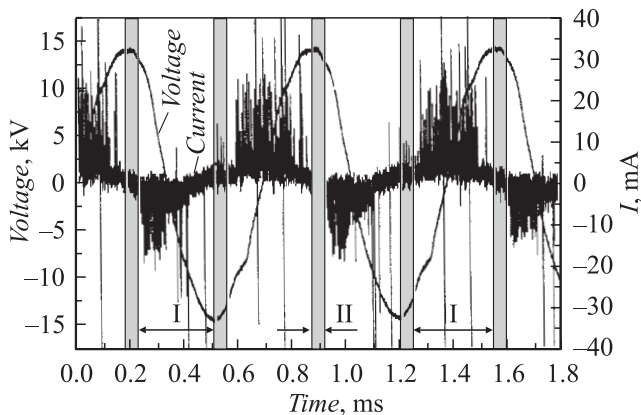
Из приведенной в работе [6] кривой Пашена были определены локальные значения  $A = 12$  (cm · Torr)<sup>-1</sup>,  $B = 800$  V/cm · Torr. Время  $\tau$  оценивалось исходя из характерных сечений ион-молекулярных столкновений, а также предполагалось, что  $j_{\text{ext}} \approx 10^{-4}$  mA/cm<sup>2</sup>. Экспериментальные результаты и теоретические расчеты представлены на рис. 10.



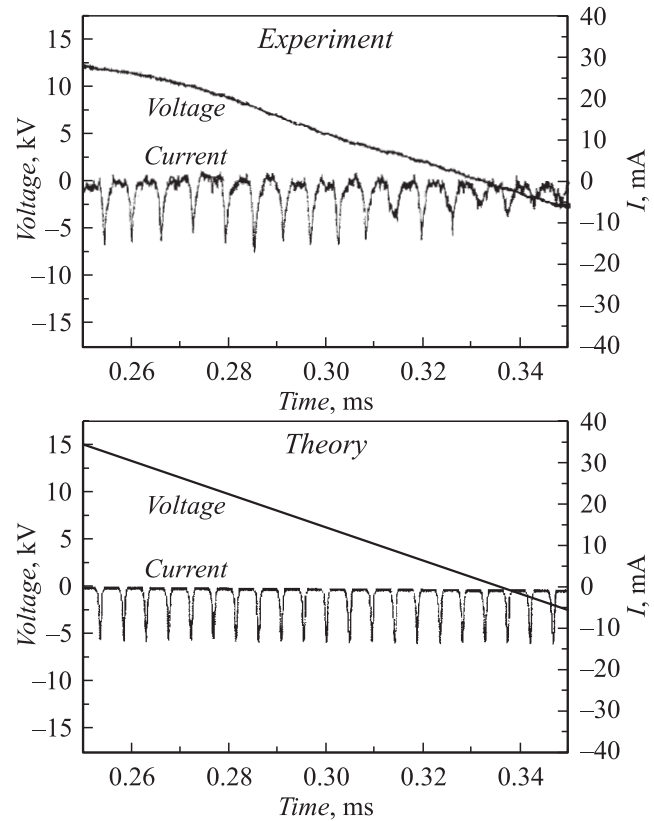
**Рис. 7.** Зависимости поля и внешнего напряжения в барьерном разряде [11].



**Рис. 8.** Экспериментальные [11] и теоретические зависимости поля и тока от времени: *a* — случай линейно меняющегося напряжения, *b* — случай синусоидального напряжения.



**Рис. 9.** Зависимости тока и внешнего напряжения [6]; разделение разряда на фазы.



**Рис. 10.** Колебания тока в барьерном разряде [6].

В работе [8] исследовался разряд в гелии при атмосферном давлении. К достоинствам этой работы следует отнести то, что исследования проводились в широком диапазоне частот от 100 Hz до 10 kHz, удовлетворяющих условию (1). Сопоставление расчета (24) с экспериментом (рис. 11) было выполнено в рамках аппроксимации

$$\alpha = Cp \exp\left(-D\sqrt{\frac{P}{E}}\right),$$

где  $C = 44 \text{ (cm} \cdot \text{Torr)}^{-1}$ ,  $D = 14 \text{ V}^{1/2}/\text{cm}^{1/2} \cdot \text{Torr}^{1/2}$ ,  $L = 0.3 \text{ cm}$ ,  $d = 0.23 \text{ cm}$ ,  $\varepsilon = 7.63$ ,  $\gamma = 0.01$  [8].

На рис. 11 видно хорошее соответствие данных эксперимента и теоретической модели. Для колебаний с частотой 500 Hz расчет выполнен при значениях  $j_{\text{ext}} \approx 5 \cdot 10^{-4} \text{ mA/cm}^2$ , а для частоты 100 Hz —  $j_{\text{ext}} = 10^{-4} \text{ mA/cm}^2$ . Эти значения согласуются с предположением о том, что  $j_{\text{ext}}$  обусловлен взаимодействием метастабильных атомов с поверхностью катода. Однако расчетное значение периода колебаний примерно в 1.5 раза больше наблюдавшегося. Лучше согласовать и период, и форму колебаний путем варьирования  $j_{\text{ext}}$  не удалось.

Скейлинг для периода колебаний (29) позволяет определить число колебаний в течение активной фазы I (рис. 12). Уменьшение числа колебаний в 4 раза при переходе от  $L = 0.3 \text{ cm}$  к  $L = 0.5 \text{ cm}$  должно определяться уменьшением примерно в 2 раза длительности



фазы I и увеличением в 2 раза  $\tau$ . Однако в эксперименте число колебаний по сравнению с  $L = 0.3$  см не менялось. Это, по-видимому, связано с воздействием пространственного заряда (42). Действительно, при той же частоте и форме напряжения пространственный заряд в случае  $L = 0.5$  см примерно вдвое больше, чем при  $L = 0.3$  см. Как видно из (29), период колебаний пропорционален  $\omega^{1/2}$ . Длительность фазы I пропорциональна  $\omega^{-1}$  и определяется только перенапряжением (рис. 3). Значит, число колебаний пропорционально  $\omega^{-1/2}$ , что подтверждается экспериментально во всем диапазоне частот. Описанная модель хорошо согласуется и с численными экспериментами. Так, в работе [12] приведен пример расчета однородного таунсендовского барьерного разряда. Особенность этого расчета состоит в предполагаемом наличии мощного внешнего иони-

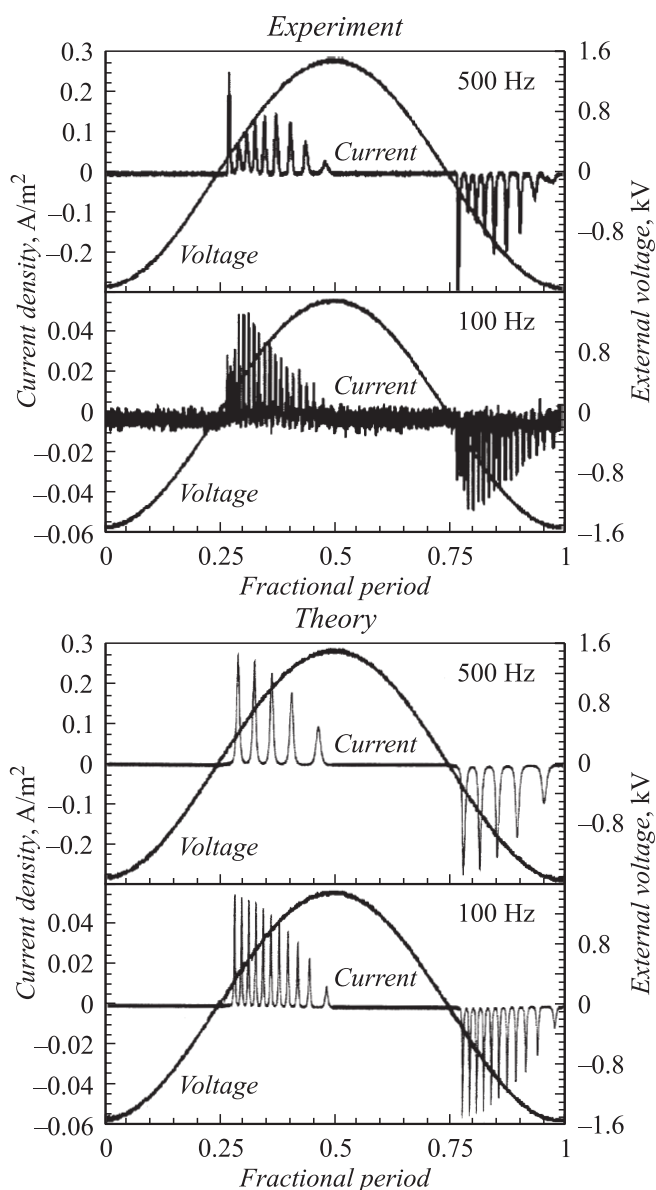


Рис. 11. Экспериментальная [8] и модельная зависимости тока от времени.

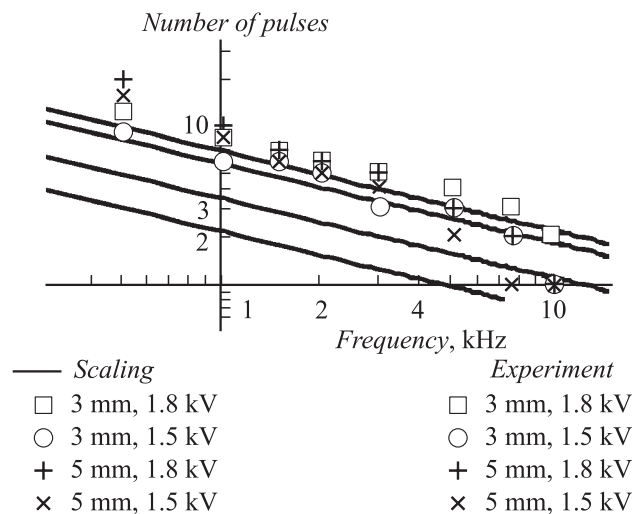


Рис. 12. Число колебаний тока в зависимости от частоты [8] и его скейлинг.

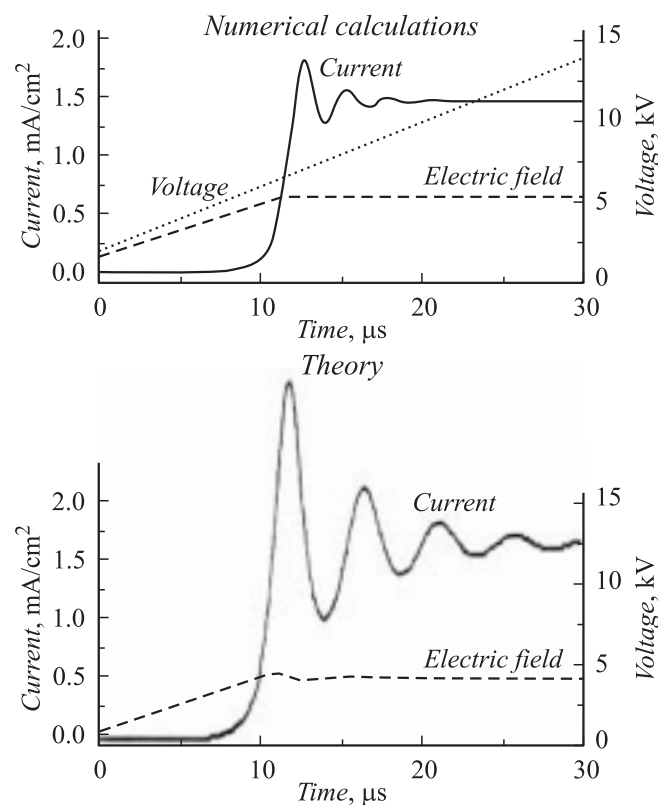


Рис. 13. Результаты численного эксперимента [12] и теоретической модели.

затора (десорбция электронов с катода). Как отмечалось выше, наличие достаточно мощного ионизатора приводит к затуханию колебаний (31), даже в случае линейно нарастающего напряжения. Численный эксперимент [12] соответствовал разряду в азоте, давление полагалось 760 Torr,  $L = 0, 1$  см,  $d = 0.01$  см,  $\epsilon = 1$ , напряжение нарастало линейно, причем  $dU/dt = 4 \cdot 10^8$  V/s,  $A = 8.8$  (см · Torr) $^{-1}$ ,  $B = 275$  V/cm · Torr [13]. Результа-

ты численного моделирования [12] и расчет поля и тока по выражениям (22), (16) приведены на рис. 13.

## Выводы

Предложена аналитическая модель однородного барьерного газового разряда. Показано, что при малой частоте внешнего напряжения по сравнению со временем движения иона в зазоре разряд является таунсендовским. Полученные аналитические выражения согласуются с результатами экспериментов. Выяснен физический механизм наблюдающихся в таунсендовском режиме горения релаксационных колебаний. Представлены качественные закономерности поведения DBD-разряда и его основные параметры подобия.

Авторы благодарят за поддержку РФФИ (грант № 04-02-16483-а) и CRDF NS (grant N RP1-567-ST-03).

## Приложение

### Возмущение поля пространственным зарядом

В таунсендовском разряде возмущение электрического поля пространственным зарядом мало. Оценим пространственный заряд и найдем величину возмущения поля. Разложим поле в зазоре на две составляющие:  $E(t) = E E_{br} + \delta E$ ,  $E_{br} \gg \delta E$ , где  $E$  — решение (22);  $\delta E(x, t)$  — поправка, связанная с пространственным зарядом. Поправка  $\delta E$  удовлетворяет уравнению

$$\begin{cases} \frac{d(\delta E)}{dx} = -4\pi n_{ion} e, \\ n_{ion}(x, t) = \frac{j_{ion}(x, t)}{e b E_{br}} \approx \frac{M(t - \frac{L-x}{b E_{br}}) \cdot j(L, t - \frac{L-x}{b E_{br}})}{e b E_{br}}. \end{cases} \quad (40)$$

Множитель  $M$  появляется из-за несовпадения катодного и анодного токов. Таким образом,

$$\delta E(x, t) \approx 4\pi \int_{(1-\frac{x}{L})\tau}^{\tau} M(t-t') \cdot j(t-t') dt'. \quad (41)$$

Разряд будет таунсендовским, только когда

$$\frac{(\delta E)_{max}}{E_{br}} \ll 1.$$

Приведем оценку  $(\delta E)_{max}/E_{br}$  для случая медленно меняющегося напряжения. Используя (19) и (28), оценим максимальный ток как

$$\frac{\Phi' \varepsilon E_{br} (1+X) (L + \frac{2d}{\varepsilon})}{8\pi d \tau}.$$

Подставляя этот ток в (41), получаем

$$\frac{(\delta E)_{max}}{E_{br}} \approx \tau \omega \cdot \frac{U_{max}}{L E_{br}} \cdot \frac{M \varepsilon L (1+X)}{\pi d}. \quad (42)$$

Также нетрудно оценить  $(\delta E)_{max}/E_{br}$  для случая напряжения в форме меандра. Из (37) оценим максимальный ток как

$$\frac{M' j|_{t=0} (E_{max} - 1)^2}{2\kappa},$$

тогда

$$\frac{(\delta E)_{max}}{E_{br}} \approx \left(1 + \frac{\varepsilon L}{2d}\right) \frac{M M' (E_{max} - 1)^2}{2}. \quad (43)$$

Одновременное выполнение условий (1) и малости отношения (42)/(43) соответствует таунсендовскому разряду.

## Список литературы

- [1] Kogelschatz U. // Plasma Chemistry and Plasma Processing. 2003. Vol. 23. N 1.
- [2] Kogoma G.M., Okazaki S. // J. Phys. D. 1994. Vol. 24. P. 1985–1987.
- [3] Laroussi M., Saylor G.S., Glascock B.B., McCurdy B., Pearce M.E., Bright N.G., Malott C.M. // IEEE Trans. Plasma Sci. 1999. Vol. 27. P. 34–35.
- [4] Callegari Th., Ganter R., Boeuf J. // J. Appl. Phys. 2000. Vol. 88. N 7. P. 3905.
- [5] Akinori Oda, Yosuke Sakai, Haruaki Akashi, Sugawara // J. Phys. D. 1999. Vol. 32. P. 2726–2736.
- [6] Liu Dongping, Ma Tengcai, Yu Shiji, Xu Yong, Yang Xuefeng // J. Phys. D. 2001. Vol. 34. P. 1651–1656.
- [7] Massines F., Rabehi A., Decomps Ph., Ben Gadri R., Segur P., Mayoux C. // J. Appl. Phys. 1998. Vol. 83. P. 2950–2957.
- [8] Jichul Shi, Laxminarayan L. Raja. // J. Appl. Phys. 2003. Vol. 94 (12). P. 7408–7415.
- [9] Golubovskii Yu.B., Maiorov V.A., Behnke J., Behnke J.F. // J. Phys. D. 2003. Vol. 36. P. 39–49.
- [10] Nagorny V.P., Drallos P.J., Williamson W. // J. Appl. Phys. 1995. Vol. 77. N 8. P. 3645.
- [11] Visentin G., Mangolini L., Orlov K., Kortshagen U., Heberlein J. // Proc. 15<sup>th</sup> Intern. Symposium on Plasma Chemistry. Orleans, 2001. Vol. 8. P. 3251–3256.
- [12] Golubovskii Yu.B., Maiorov V.A., Behnke J., Behnke J.F. // J. Phys. D. 2003. Vol. 36. P. 975–981.
- [13] Протасов Ю.Ю., Чувашев С.Н. Энциклопедия низкотемпературной плазмы. Т. IV. М., 2000. С. 180–204.
- [14] Цендин Л.Д. Там же. С. 5–16.